

بررسی تأثیر شکل دهی سهموی کاتد بر عملکرد مگنترون نسبیتی

حسن زیبائی نژاد^۱، حبیب‌الله عبیری^{۲*}

۱- دانشجوی دکتری، ۲- استاد، دانشگاه شیراز

(دریافت: ۹۶/۰۸/۱۳؛ پذیرش: ۹۶/۱۲/۱۲)

چکیده

در این مقاله نشان داده است که شکل دهی کاتد مگنترون در راستای محور تقارن، منجر به تغییر منحنی های هال و هارتی آن می شود بهطوری که مجموعه ای از منحنی ها به جای دو منحنی ایجاد می شود. این امر سبب می شود که احتمال تحریک همه مدها و هارمونیک ها فراهم شود. درنتیجه یک لامپ پهن باند به وجود می آید. برای نمونه بدون اعمال تغییر در ساختار آند مگنترون، کاتد مگنترون نسبیتی A6 با حفظ تقارن محوری در راستای محور به طور سهموی شکل داده شد و با استفاده از یک شبیه ساز سه بعدی ذره در سلول، نشان داده شد که توان خروجی به بیش از ۴۰۰ MW می رسد در حالی که گستره فرکانسی ۵-۲۰ GHz می باشد.

واژگان کلیدی

مگنترون نسبیتی، شکل دهی کاتد، شبیه سازی ذره در سلول، پهن باند

شده که می توان با استفاده از مگنترونی که کاتد آن با حفظ تقارن محوری به طور سهموی در راستای محور شکل داده شده، یک منبع تولید امواج مایکروویو پرتوان پهن باند تولید کرد. در این مقاله برای سهولت، در متن، مگنترون پیش از شکل دهی کاتد، مگنترون پایه و کاتد آن، کاتد پایه نام یافته است. همچنین مگنترون بعد از شکل دهی کاتد، مگنترون جدید و کاتد آن، کاتد شکل دهی شده نامیده شده است.

۲- شکل دهی کاتد و تاثیر آن بر منحنی های هال و هارتی

معمولًا در مگنترون ها از کلاهک کاتد^۲ در دو طرف کاتد استفاده می نمایند این کار باعث ایجاد یک میدان محوری در لبه های کاتد می شود که نیرویی به سمت مرکز آند، به الکترون ها اعمال می کند و صرفاً باعث می شود بخشی از الکترون ها، از فضای کاتد - آند خارج نشوند. در اینجا، پا فراتر گذاشته شد و کاتد به طور کلی تغییر شکل یافته به گونه ای که ضمن حفظ تقارن محوری، اندازه شعاع کاتد با مختصه محور تقارن (z) تغییر کند. اگر $f(z) = f_c$ باشد، در این وضعیت، شرایط مرزی ایجاب می کند که میدان های مماسی بر سطح کاتد صفر باشند. در نتیجه، میدان الکتریکی، فقط مؤلفه عمودی روی سطح کاتد خواهد داشت و از آنجا که بردار نرمال سطح کاتد جدید یک

۱- مقدمه

مگنترون نسبیتی به عنوان یکی از منابع تولید امواج مایکروویو پرتوان معرفی شده است [۱-۳]. اصول کلی حاکم بر این لامپ شبیه مگنترون معمولی (غیر نسبیتی) است بدین معنی که الکترون های خارج شونده از کاتد در فضای استوانه ای بین کاتد و آند تحت تأثیر میدان های متقاطع الکتریکی (در راستای شعاع^(۲) و مغناطیسی (در راستای محور^(۲)، حرکت دورانی می کنند و اگر ساختار رزونانسی مگنترون به گونه ای طراحی شده باشد که سرعت فاز موج RF مربوط به یکی از مدهای نوسانی لامپ با سرعت زاویه ای الکترون ها هم اندازه باشد، در نتیجه خوش هایی^(۱) از الکترون ها تشکیل می شود و این خوش ها هم فاز با موج RF حرکت می کنند و موج RF را تقویت می نمایند [۴ و ۵]. مگنترون های به ویژه مگنترون های نسبیتی به عنوان منبع تولید موج تک فرکانس در رادارها همواره مدنظر بوده اند و مطالعه و تحقیق درباره انواع مگنترون ها در محدوده های فرکانسی متنوع همچنان ادامه دارد [۶-۸]. در این مقاله با استفاده از یک روش جدید و ساده یعنی شکل دهی کاتد، یک لامپ پهن باند طراحی شده است که می تواند به عنوان اخلاق لگر کاربرد داشته باشد. در اینجا در ابتدا از نظر تئوری تاثیر شکل دهی کاتد بر روی منحنی های هارتی و هال مورد بررسی قرار گرفته است و سپس نشان داده

* نویسنده مسئول: abiri@shirazu.ac.ir

1-Bunches

$$\frac{\partial L}{\partial z} = \frac{d}{dt} \left(\frac{\partial L}{\partial \dot{z}} \right) \quad (6)$$

از آنجا که همچنان لاغرانژی L ، تابعی از φ نیست می‌توان رابطه (۵) را به صورت $\frac{\partial L}{\partial \dot{\varphi}} = \text{Cons}$. نوشت یا به عبارتی $\frac{\partial L}{\partial \dot{\varphi}} \Big|_{r=r_a} = \frac{\partial L}{\partial \dot{\varphi}}$ از سویی با توجه به رابطه (۲)، می‌توان نوشت: $\frac{\partial L}{\partial \dot{\varphi}} = rp_\varphi + qrA_\varphi/c$. در نتیجه با توجه به این رابطه و ناچیز بودن سرعت ذره در لحظه خروج از کاتد می‌توان نوشت؛

$$p_\varphi \Big|_{r=r_a} = \frac{-q(r_a^2 - r_c^2)}{2cr_a} B_z \quad (7)$$

توجه شود که در مگنترون پایه، برای مختصه z هم می‌شد نوشت؛ $\frac{\partial L}{\partial \dot{z}} = \text{Cons}$. در حالی که بعد از شکل‌دهی کاتد، لاغرانژی L تابعی از مختصه z است و نمی‌توان این گونه نوشت مگر آنکه اثر میدان الکتریکی محوری ناچیز انگاشته شود.

از روابط (۲) و (۶) می‌توان نوشت $qE_z = qE_z = qE_z$. اما از آنجایی که در اینجا میدان مغناطیسی صرفاً در راستای z است مقدار A_z صفر است، پس $qE_z = qE_z = qE_z$ و یا به عبارتی دیگر؛

$$p_z = \int qE_z dt \quad (8)$$

اما همچنان لاغرانژی به طور صریح مستقل از زمان است لذا هامیلتونی یک ثابت حرکت است.^۳ در نتیجه مقدار آن برای هر ذره روی کاتد و آند یکسان است یعنی $E_r = E_r = E_r$. با توجه به اینکه پتانسیل الکتریکی کاتد و آند به ترتیب برابر با V_0 و ۰ است و همچنین سرعت الکترون‌ها در لحظه خروج از کاتد صفر است، می‌توان با توجه به رابطه (۳) نوشت:

$$m_0 c^2 - qV_0 = \left[(m_0^2 c^4 + c^2 p_r^2 + c^2 p_\varphi^2 + c^2 p_z^2)^{1/2} \right]_{r=r_a} \quad (9)$$

از آنجا که شرط قطع هال ایجاد می‌کند که الکترون‌ها هیچ مؤلفه شعاعی سرعت در $r = r_a$ نداشته باشند بنابراین $p_r \Big|_{r=r_a} = 0$ است و با جایگذاری روابط (۷) و (۸) در رابطه (۹)، چنین به دست می‌آید؛

$$\begin{aligned} 1 - q \frac{V_0}{m_0 c^2} \\ = \left[1 + \frac{(r_a^2 - r_c^2)^2}{4r_a^2} B_z^2 + c^2 \left(\frac{q}{m_0 c^2} \right)^2 \left(\int_{t_c}^{t_a} E_z dt \right)^2 \right]^{1/2} \end{aligned} \quad (10)$$

مؤلفه در راستای محور تقارن مگنترون (z) دارد، در نتیجه یک میدان الکتریکی محوری در فضای برهمناسن ایجاد می‌شود. اگر شکل‌دهی کاتد به گونه‌ای باشد که مقدار این میدان محوری قابل چشم‌پوشی نباشد، تقریباً همه‌ی الکترون‌ها تحت اثر میدان الکتروستاتیک یک حرکت دورانی سه‌بعدی را پس از خروج از کاتد به سمت مرکز آند تجربه می‌کنند. در اینجا نشان داده خواهد شد که این میدان محوری باعث تغییر در منحنی‌های هال و هارتی می‌شود. بدین منظور، دوباره روابط قطع هال و هارتی را به دست آمده است.

۲-۱- تغییر منحنی هال پس از شکل‌دهی کاتد
به طور ساده برای یافتن منحنی هال در مگنترون می‌توان از روش لاولیس^۱ و یانگ^۲ استفاده کرد. بدین ترتیب که می‌توان برای یک الکtron، هامیلتونی را بدین صورت نوشت.

$$H = \dot{r} \frac{\partial L}{\partial \dot{r}} + \dot{\varphi} \frac{\partial L}{\partial \dot{\varphi}} + \dot{z} \frac{\partial L}{\partial \dot{z}} - L \quad (1)$$

که در آن، علامت نقطه، بیانگر مشتق زمانی و (r, φ, z) بیانگر مختصات در دستگاه استوانه‌ای و L ، لاغرانژی مناسب برای حرکت نسبیتی ذره باردار با جرم سکون m_0 و بار الکتریکی q با سرعت \vec{v} در پتانسیل الکتریکی V و پتانسیل مغناطیسی A است که به صورت زیر بیان می‌شود:

$$L = -m_0 c^2 \sqrt{1 - (v/c)^2} - qV + q \vec{v} \cdot \vec{A}/c \quad (2)$$

و c سرعت نور است. در نتیجه، هامیلتونی این گونه نوشت
می‌شود؛

$$H = (m_0^2 c^4 + c^2 p_r^2 + c^2 p_\varphi^2 + c^2 p_z^2)^{1/2} + qV \quad (3)$$

که در آن، p_r و p_φ مؤلفه‌های تکانه حرکت ذره هستند.

همان‌طور که گفته شد، شکل‌دهی کاتد، باعث ایجاد یک مؤلفه محوری میدان الکتریکی (E_z) می‌شود، به عبارت دیگر پتانسیل الکتریکی در مگنترون جدید برخلاف پتانسیل الکتریکی در مگنترون پایه که تنها تابعی از مختصه r بود تابعی از مختصه z هم می‌شود. یعنی $V = V(r, z)$. پس برخلاف مگنترون پایه، لاغرانژی ذره، تابعی از هر دو مختصه r و z است. همچنین با توجه به معادله لاغرانژ، می‌توان نوشت:

$$\frac{\partial L}{\partial r} = \frac{d}{dt} \left(\frac{\partial L}{\partial \dot{r}} \right) \quad (4)$$

$$\frac{\partial L}{\partial \varphi} = \frac{d}{dt} \left(\frac{\partial L}{\partial \dot{\varphi}} \right) \quad (5)$$

1- Lovelace

2- Young

$\delta A(r, \varphi, z, t) = g(r, \varphi - \omega_0 t, z)$ قابل بیان هستند که در آن $\omega_0 = \omega/n$ سرعت فاز ثابت میدان‌های RF و n معرف مدنوسانی است. با استفاده از رابطه (۲) و با توجه به روابط (۱۲) و (۱۳) می‌توان نوشت $L = L_0 + \delta L$. از آنجایی پتانسیل الکتریکی تابعی از φ نیست، نتیجه می‌شود که تبدیل کانونی $t = \varphi - \omega_0 t$ ایجاد خواهد کرد لاگرانژی جدیدی به صورت $L' = L(r, \varphi', z; v)$ ایجاد خواهد کرد که هیچ ولستگی صریح زمانی در آن دیده نمی‌شود. لذا همیلتونی جدید بر پایه لاگرانژی جدید مطابق با رابطه (۱۴) برای یک ذره در حال حرکت ثابت است؛

$$H|_{r_a} = H|_{r_c} \quad (14)$$

برای به دست آوردن شرط نسبیتی هارتی در مگنترون‌های نسبیتی، رابطه (۱۴) به یک الکترون که از حال سکون از کاتد خارج می‌شود و در روی سطح آند $r = r_a$ با سرعت فاز میدان RF همگام می‌شود، اعمال می‌شود. در روی کاتد $r = r_c$ ، r ، شرایط مرزی بیان می‌دارد که $\dot{r} = 0$ ، $\dot{z} = 0$ و $\dot{\varphi} = \omega_0$ و روی سطح آند شرایط مرزی به صورت $\dot{r} = 0$ ، $\dot{z} = 0$ و $\dot{\varphi} = 0$ باشد. با استفاده از رابطه (۱۴)، رابطه هارتی به صورت زیر به دست می‌آید؛

$$\frac{-qV_0}{m_0 c^2} = -1 + \frac{1 - \frac{r_a^2 \omega^2}{c^2}}{\sqrt{1 - \frac{r_a^2 \omega^2 + (\dot{z}|_{r=r_a})^2}{c^2}}} - \frac{q\omega B_z}{m_0 c^2} \left(\frac{r_a^2 - r_c^2}{2r_a} \right) \quad (15)$$

همان‌طور که مشخص است اگر شکل دهی کاتد انجام نشود، مقدار r_c برابر r_c خواهد بود و مقدار $\dot{z}|_{r=r_a}$ بسیار ناچیز می‌شود و در نتیجه رابطه (۱۵) به رابطه رابطه متداول هارتی است. از رابطه (۱۵) مشخص است که منحنی هارتی جدید روی صفحه B-V تغییر می‌کند به گونه‌ای که برای الکترون‌هایی با $z_{c,p}$ متفاوت است، اگر مقدار $\dot{z}|_{r=r_a}$ صفر نباشد، مقدار B_z به ازای V_0 مشخص، افزایش می‌یابد. همچنین از آنجا که r_c تابعی از مختصه z است، مقدار $\left(\frac{r_a^2 - r_c^2}{2r_a}\right)$ که تعیین‌کننده شیب نمودار هارتی است، تابعی از مختصه z خواهد بود.

۳- شکل دهی سهموی کاتد

در این مقاله کاتدی در نظر گرفته شده است که شعاع آن با توجه به رابطه سهموی زیر شکل داده شود؛

$$r_c = \frac{4(r_{cap} - r_{cathode})}{h_c^2} z^2 + r_{cathode} \quad (16)$$

که در آن، t_a و t_c به ترتیب زمان خروج ذره از کاتد و زمان رسیدن ذره به آند است. مقدار E_z در جمله‌ی آخر درون کروشه تابعی از پتانسیل کاتد است. همچنین انتگرال مربوطه، وابسته به مسیر حرکت ذره و مکان خروج ذره از روی کاتد است. از آنجا که این انتگرال فقط تابعی از مختصه‌ی z از مکان خروج ذره $(z_{c,p})$ است، با دست کاری رابطه (۱۰) می‌توان نوشت؛

$$1 - q \frac{V_0}{m_0 c^2} = \left[1 + \frac{(r_a^2 - r_c^2)^2}{4r_a^2} B_z^2 + c^2 \left(\frac{q}{m_0 c^2} \right)^2 \left(\int_{t_c}^{t_a} E_z dt \right)^2 \right]^{1/2} \quad (11)$$

$$R(V_0, z_{c,p}) = \frac{q}{m_0 c} \int_{t_c}^{t_a} E_z dt$$

همان‌طور که مشخص است اگر شکل دهی کاتد انجام نشود، مقدار E_z قابل صرف‌نظر کردن است و مقدار $R(V_0, z_{c,p})$ برابر صفر می‌شود و رابطه (۱۱) به رابطه متداول هال تبدیل می‌شود. اضافه شدن جمله $[R(V_0, z_{c,p})]$ باعث می‌شود که در یک پتانسیل ثابت، با مقدار کمتری از میدان مغناطیسی، ذره خارج شده از کاتد، با آند، مماس شود و شرط هال اتفاق افتد. از آنجایی که $R(V_0, z_{c,p})$ وابسته به مسیر است برای چند ذره با $z_{c,p}$ مختلف باید منحنی هال را به صورت عددی به دست آورد.

۲-۲- تغییر منحنی هارتی

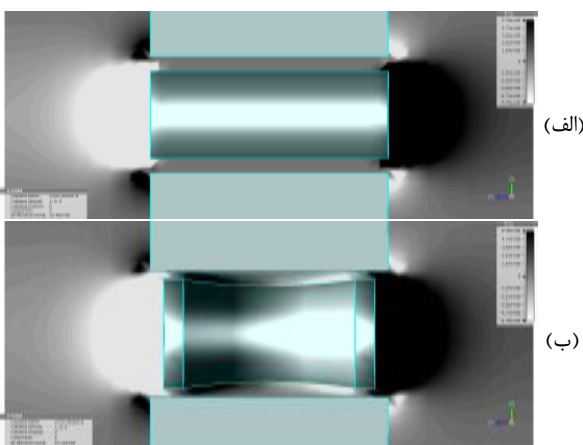
فرض کنید مگنترون جدید در معرض یک میدان الکترومغناطیسی چرخشی اختلالی به علاوه میدان‌های ساکن الکتریکی و مغناطیسی متعامد قرار گیرد. همان‌طور که در بخش قبل گفته شد، در مگنترون‌های نسبیتی با کاتد شکل داده، پتانسیل الکتریکی ساکن در فضای برهم کنش تابعی از مختصه z و مختصه r است یعنی $V = V(r, z)$. در ادامه با بازنگری روش لاولیس^۱ و یانگ^۲ [۹]، منحنی هارتی به دست می‌آید. کل پتانسیل را به صورت جمع پتانسیل ساکن به علاوه یک پتانسیل اختلالی RF می‌توان در نظر گرفت (روابط ۱۲ و ۱۳).

$$V = V_0(r, z) + \delta V(r, \varphi, z, t) \quad (12)$$

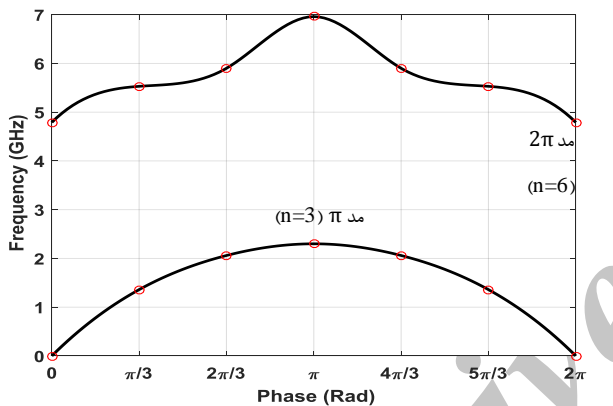
$$A = A_0(r) + \delta A(r, \varphi, z, t) \quad (13)$$

توابع اختلالی در دو رابطه (۱۲) و (۱۳) به صورت توابعی از f و $\delta V(r, \varphi, z, t) = f(r, \varphi - \omega_0 t, z)$ و g به شکل

1- Lovelace
2- Young



شکل (۲): توزیع میدان الکتریکی E_z در سطح مقطعی از (الف) مگنترون پایه و (ب) مگنترون جدید

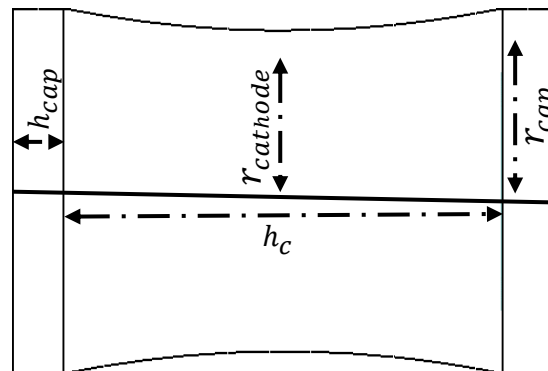


شکل (۳): منحنی پاشندگی مگنترون جدید

منحنی هارتری در فرکانس $4/76 \text{ GHz}$ مد 2π و منحنی هارتری در فرکانس $4/76 \text{ GHz}$ مد 2π به صورت عددی (با تقریب ۱٪ خطای محاسبه شاعع مسیر حرکت) برای الکترون‌هایی با $z_{c,p}$ های مختلف به صورت زیر بدست آمده است و در شکل (۴) رسم شده است.

همانطور که مشاهده می‌شود برخلاف حالت معمول، روابط هارتری و هال منجر به یک منحنی نمی‌شوند و به صورت دسته‌ای از منحنی‌ها خواهند بود که منطبق بر یکدیگر نیستند. از شکل (۴) مشخص است که هیچ نقطه‌ای در صفحه (V, B) وجود ندارد که در آن، همه منحنی‌های هارتری بر هم منطبق باشند. این بدین معنی است که مقدار V و B را نمی‌توان به گونه‌ای انتخاب کرد که سرعت زاویه‌ای همه الکترون‌ها با $z_{c,p}$ های مختلف، برابر با سرعت فاز مد 2π باشد و در نتیجه سرعت زاویه‌ای برخی از آنها بیشتر و یا کمتر خواهد بود. همچنین همان‌طور که از منحنی پاشندگی (شکل ۳) مشخص است، سرعت فاز مد π (مد $n = N/2 - 1$ و مدهای $n = N/2 - 2$ و $n = N/2$) بیشتر از سرعت فاز مد 2π است. لذا الکترون‌هایی که با سرعت

که در آن، $r_{cathode}$ شعاع کاتد پایه، r_{cap} شعاع کلاهک و h_c ارتفاع کاتد باشد. به عبارتی در $z = 0$ مقدار شعاع کاتد جدید، برابر شعاع کاتد پایه و در $z = \frac{h_c}{2}$ برابر با شعاع کلاهک خواهد شد. پروفایل کاتد پس از شکل دهی در شکل (۱) نمایش داده شده است.



شکل (۱): کاتد شکل دهی شده با رابطه سه‌میوی (۱۶)

در اینجا مگنترون نسبیتی A6 به عنوان مگنترون پایه در نظر گرفته شده است. شاعع بخش گسیل^۱ کاتد برابر با $1/58 \text{ cm}$ است. آند این مگنترون شامل شش حفره^۲ است که فاصله زاویه آنها از هم 60° درجه است. زاویه دهانه^۳ هر حفره برابر 20° درجه و و پهنه‌ای پره‌ها^۴ برابر با 40° درجه است. ارتفاع آند برابر $7/2 \text{ cm}$ است. شعاع داخلی و بیرونی هر حفره به ترتیب برابر $2/11 \text{ cm}$ و $4/11 \text{ cm}$ است.

در رابطه (۱۶) کمینه شعاع کاتد شکل دهی شده برابر با $1/58 \text{ cm}$ و بیشینه آن برابر با $1/8 \text{ cm}$ است. در شکل (۲) میدان الکتریکی E_z به ازای یک ولتاژ منفی 350 KV اعمالی به کاتد در فضای برهم کنش در سطح مقطع مگنترون A6 (شکل ۲-الف) و در مگنترون با کاتد شکل دهی شده (شکل ۲-ب) نشان داده شده است. این شبیه‌سازی به طور سه‌بعدی با استفاده از نرم‌افزار CST STUDIO SUITE انجام شده است [۱۰]. واضح است که در فضای برهم کنش مگنترون با کاتد شکل دهی شده، مقدار E_z قابل توجه است.

فرکانس مدهای مختلف و منحنی پاشندگی این مگنترون با استفاده از نرم‌افزار CST STUDIO SUITE بدست آمده و در شکل (۳) رسم شده است. مطابق این شکل فرکانس مدهای 2π برابر با $4/76 \text{ GHz}$ است.

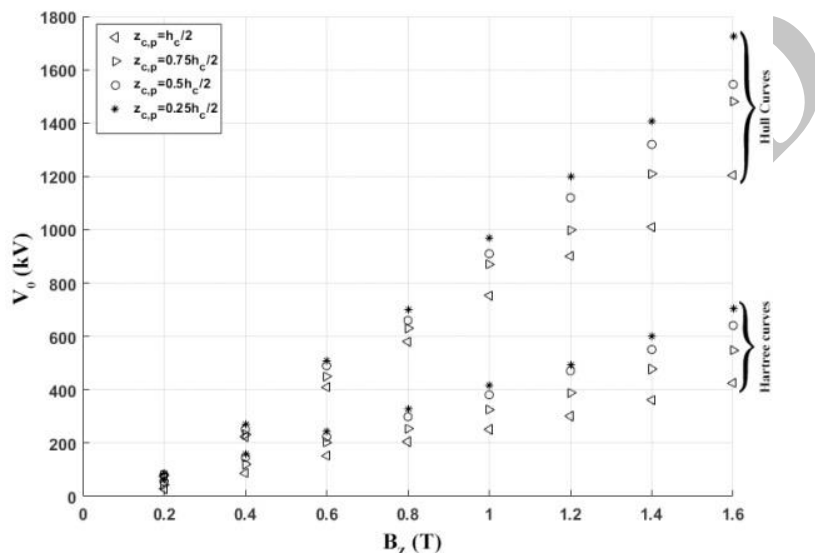
- 1- Emitting
- 2- Cavity
- 3- Opening Angle
- 4- Vanes

محوری در مگنترون به صورت $B=+52T$ و ولتاژ آند برابر صفر و مقدار ولتاژ کاتد، به طور جداگانه سه مقدار $V=-350\text{ kV}$, $V=-390\text{ kV}$ و $V=-370\text{ kV}$ قرار داده شد. همچنین پتانسیل الکتریکی به صورت یکتابع شیب زمانی با عرض پالس ۵۰ ns و با زمان خیز 10 ns به کاتد لامپ اعمال شده است.

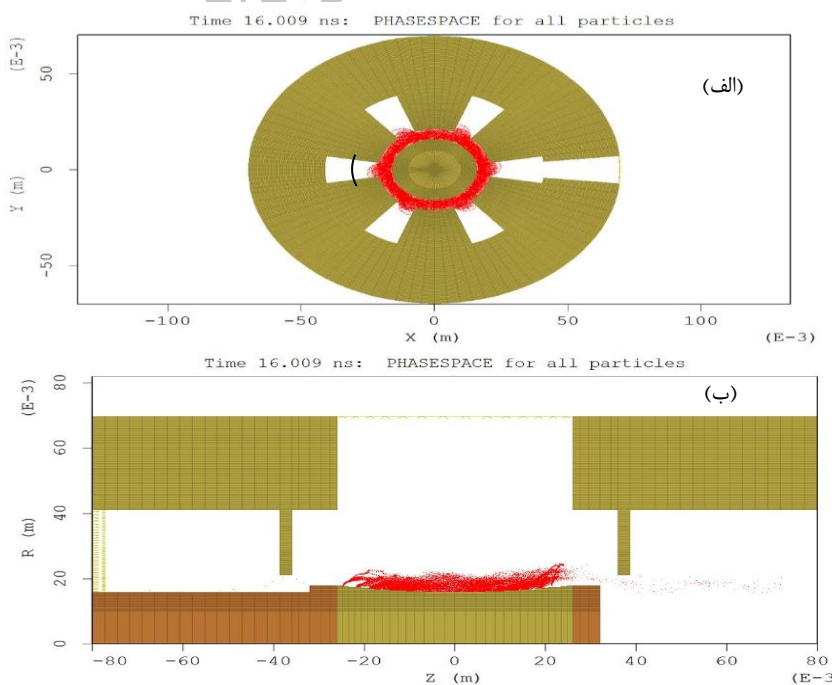
توزیع مکانی الکترون‌ها در مگنترون جدید در دو سطح مقطع مختلف، پس از گذشت 16 ns ، در شکل (۵) به‌ازای ولتاژ اعمالی کاتد برابر با -370 kV نشان داده شده است.

زاویه‌ای بیشتر حرکت می‌کنند می‌توانند با یکی از این سه مد هماهنگ شوند و الکترون‌هایی که با سرعتی کمتر حرکت می‌کنند می‌توانند با مدهای بالاتر هماهنگ شوند. لذا همزمان احتمال وقوع همه مدها کم و بیش وجود دارد.

جهت بررسی این موضوع، عملکرد تست گرم مگنترون جدید باید مورد مطالعه قرار گیرد. بدین منظور از نرم‌افزار MAGIC Tool Suite، که یک نرم‌افزار سه‌بعدی شبیه‌سازی برهم کنش موج و ذره است و شبیه‌سازی آن، برپایه‌ی روشن ذره در سلول^۱ است، استفاده شد [۱۱ و ۱۲]. چگالی شار مغناطیسی



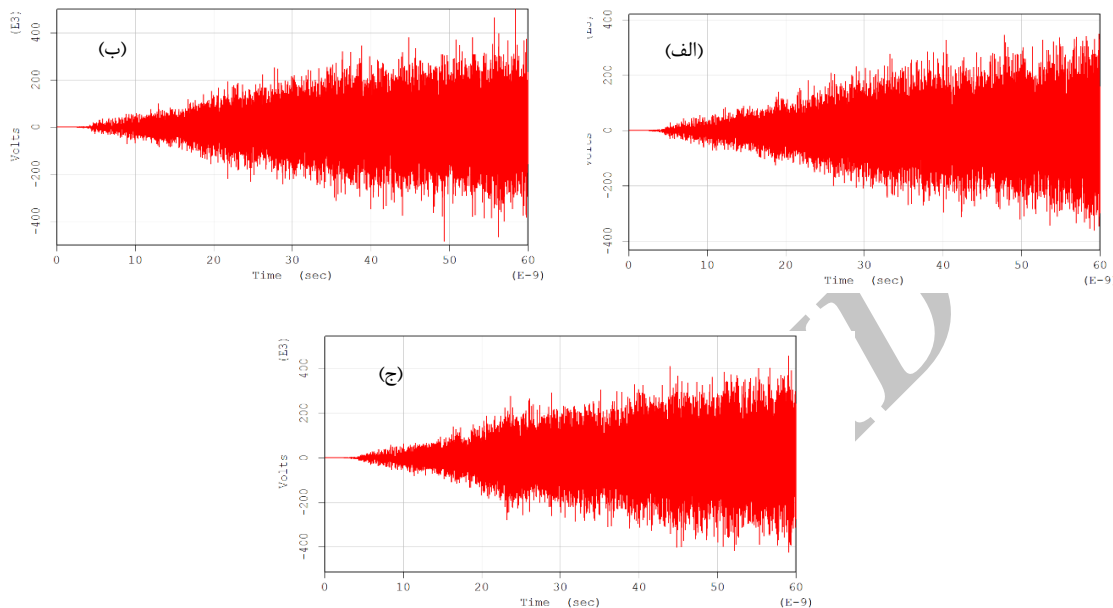
شکل (۴): دسته منحنی‌های هال و هارتی در مگنترون جدید در مکان‌های متفاوت خروج ذرات روی محور Z ($z_{c,p}$)



شکل (۵): توزیع مکانی الکترون‌ها در زمان 16 ns در دو سطح مقطع (الف) $y = 0$ و (ب) $z = 0$

۳۹۰ kV ترسیم شده است و تبدیل فوریه متناظر، در شکل (۷) بهطور همزمان ترسیم شده است.

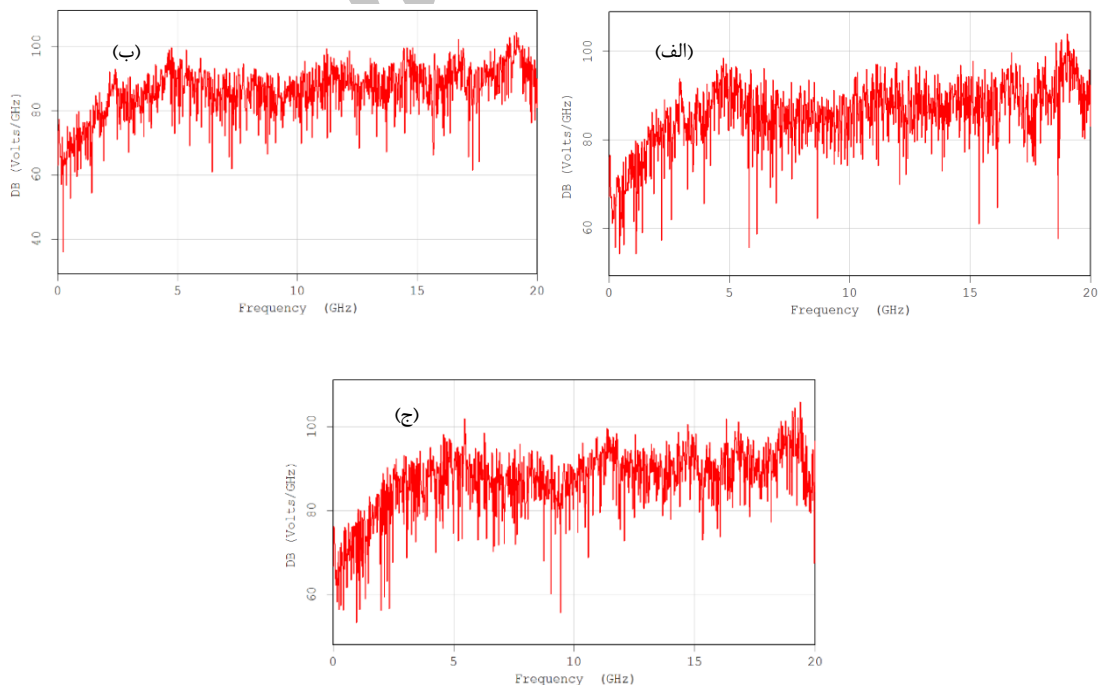
در شکل (۶) ولتاژ (انتگرال خطی از میدان الکتریکی سمتی) موج RF تولیدی، در وسط یکی از حفره‌های آند (روی مسیر S در شکل (۵) بهازای سه ولتاژ کاتد با مقادیر -350 kV ، -370 kV و



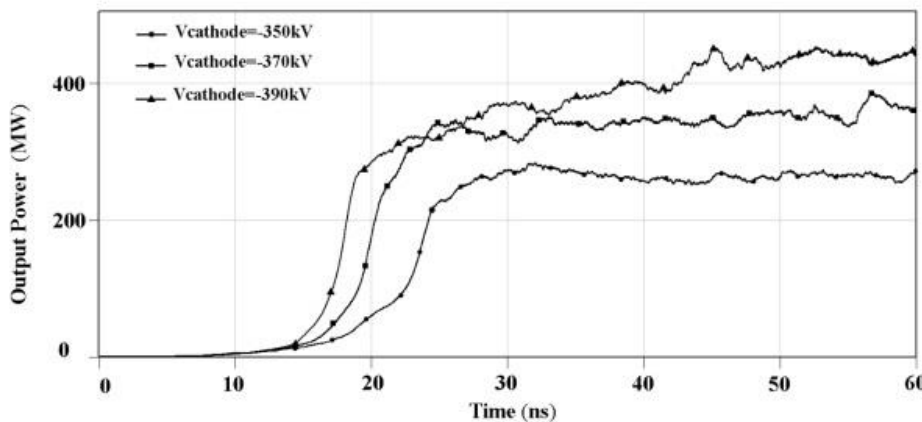
شکل (۶): انتگرال خطی از میدان الکتریکی سمتی موج rf روی مسیر S در شکل (۵)، بهازای سه ولتاژ کاتد؛ (الف) $V = -350\text{ kV}$ ، (ب) $V = -370\text{ kV}$ و (ج) $V = -390\text{ kV}$

می‌دهد علاوه بر مدهای اصلی، هارمونیک‌های مراتب بالاتر هم تحریک شده‌اند. همچنین مقدار توان خروجی بهازای مقادیر مختلف ولتاژ ورودی در شکل (۸) نمایش داده شده است.

همان‌طور که از شکل (۷) بر می‌آید گستره‌ی فرکانسی از فرکانس $2/2\text{ GHz}$ تا 20 GHz می‌باشد اما تمرکز توان، حول فرکانس‌های 5 ، 12 ، 15 ، 17 و 20 گیگاهرتز است که نشان



شکل (۷): پاسخ فرکانسی متناظر ولتاژهای موج RF در شکل (۶)



شکل (۸): توان خروجی به ازای سه ولتاژ کاتد سه مقدار $V_c = -390 \text{ KV}$ و $V_c = -370 \text{ KV}$ و $V_c = -350 \text{ KV}$

- bore magnetron," Physics of Fluids, vol. 22, pp. 978-85, 1979.
- [3] G. Bekefi and T. Orzechowski, "Giant Microwave Bursts Emitted from a Field-Emission, Relativistic-Electron-Beam Magnetron," Physical Review Letters, vol. 37, pp. 376-82, 1976.
- [4] G. B. Collins, "Microwave Magnetrons," McGraw-Hill, New York, 1948.
- [5] A. S. Gilmour, "Klystrons, Traveling Wave Tubes, Magnetrons, Crossed-Field Amplifiers, and Gyrotrons," Artech House, Boston, 2011.
- [6] Sh. Li, F. Li, J. Yang, T. Yan, B. Du, and W. Shi, "Development of a Miniaturized W-Band Spatial Harmonic Magnetron," IEEE Transactions on Electron Devices, vol. 63, no. 7, pp. 2925-2929, 2016.
- [7] M. Fuks, S. Prasad and E. Schamiloglu, "Efficient Magnetron With a Virtual Cathode," IEEE Transactions on Plasma Science, vol. 44, no. 8, pp. 1298-1302, 2016.
- [8] D. F. Shi, B. L. Qian, H. G. Wang, W. Li, and G. X. Du, "A frequency tunable relativistic magnetron with a wide operation regime," AIP Advances, vol. 7, pp. 025010-1-025010-12, 2017.
- [9] R. V. Lovelace and T. Young, "Relativistic Hartree condition for magnetrons: Theory and comparison with experiments," Physics of Fluids, vol. 28, pp. 2450-2452, 1985.
- [10] CST, "About CST Studio Suite Software," www.cst.com/products/csts2, 2017.
- [11] B. Goplen, L. D. Ludeking, D. Smithe, and G. Warren, "User-Configurable MAGIC for electromagnetic PIC calculations," Computer Physics Communications, vol. 87, pp. 54-86, 1985.
- [12] Northropgrumman, "About MAGIC Software," www.northropgrumman.com/Capabilities/PICCodeSoftware/MAGIC/Pages/About-Magic.aspx, 2017.

همان‌طور که مشخص است با افزایش ولتاژ ورودی از مقدار 350 kV به 390 kV سطح توان خروجی از مقدار 270 MW به 442 MW افزایش می‌یابد زمان راهاندازی^۱ نیز از 25 ns به 19 ns تقلیل یافته است. شبیه‌سازی نشان داد که توان خروجی به‌ازای $V_c = -390 \text{ kV}$ پس از 90 ns به 500 MW می‌رسد. همچنین شبیه‌سازی نشان داد که افزایش ولتاژ بیش از این مقدار، منجر به تحریک جزئی برخی مدها و کاهش توان خروجی می‌شود. این، بدان دلیل است که مقدار ولتاژ اعمالی به کاتد در میدان مغناطیسی 0.52 T بالاتر از برخی از منحنی‌های هال قرار می‌گیرد و ذرات منتنسب به این منحنی‌ها در فرآیند برهمن کنش شرکت نمی‌کنند.

۴- نتیجه‌گیری

در این مقاله نشان داده شد شکل دهی سهموی کاتد مگنترون در راستای محور Z ، منجر به ایجاد مجموعه‌ای از منحنی‌های هال و هارتری می‌شود. همچنین مشخص شد که منحنی‌های هارتری در هیچ نقطه‌ای با یکدیگر برخورد ندارند و بدین ترتیب در صفحه $V-B$ هیچ نقطه‌ای رانمی توان یافت که سرعت زاویه‌ای همه الکترون‌های تابیشی از کاتد با سرعت فاز یکی از مدها برابر باشد. این امر منجر به تحریک همه مدها و بسیاری از هارمونیک‌های بالاتر شده و در نتیجه، یک لامپ با توان خروجی زیاد با گستره فرکانسی زیاد به دست آمد که می‌تواند به عنوان یک اخلاق‌گر پهن باند مورد استفاده قرار گیرد.

۵- مراجع

- [1] J. Benford, J. Swegle, and E. Schamiloglu, "High-Power Microwaves," Taylor & Francis Group, New York, 2007.
- [2] T. Orzechowski and G. Bekefi, "Microwave emission from pulsed, relativistic e-beam diodes I: The smooth

1- Startup Time

Archive of SID